

На рис. IV.4.3 показана зависимость приведенного давления  $p$  на оси излучателя от расстояния  $s = z\lambda/a^2$ , где указана протяженность переходной зоны, когда  $a/\lambda = 5,8$ .

Если снимать диаграмму направленности без учета переходной области, то можно допустить значительную ошибку. Оценим ошибку, полагая, что дальняя зона непосредственно примыкает к ближней. Для этой оценки решим уравнение относительно  $\epsilon$ :

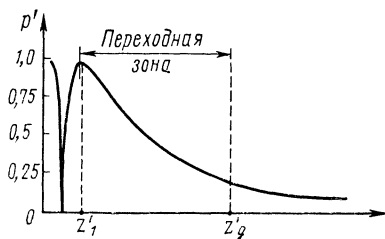


Рис. IV.4.3

$$\left(\frac{\pi}{2\sqrt{3\epsilon}}\right) a'^2 + \frac{1}{4} = 0$$

и получим

$$\epsilon = \frac{4\pi^2 a'^4}{3(4a'^2 - 1)^2}.$$

При  $a' \gg 1$

$$\epsilon \approx \frac{\pi^2}{12} \approx 0,9,$$

т. е. относительная ошибка близка к единице.

## § IV.5. БЛИЖНЕЕ ПОЛЕ ПЛОСКОГО ИЗЛУЧАТЕЛЯ

Вычисление амплитуды и фазы звукового давления, создаваемого плоским излучателем, представляет собой довольно сложную дифракционную задачу. Мы ознакомимся с решениями задачи для излучателя круглой формы, вставленного в бесконечный жесткий экран.

Как будет видно из дальнейшего изложения, решение задачи получается в виде бесконечных рядов, сходимость которых зависит от расстояния до излучателя. Для точек, расположенных вблизи излучателя, получаются слабо сходящиеся ряды. Для удаленных точек можно найти решение с помощью интегралов Френеля или рядов Ломмеля. Для очень удаленных точек пространства можно пользоваться асимптотическими приближениями. В соответствии с изложенным выше поле излучателя можно разделить на несколько областей: непосредственно примыкающую к поверхности излучателя, френелевой дифракции, переходную и дальнего поля.

**Область поля, примыкающая к излучателю.** Интеграл Рэлея (III.4.10) дает принципиальную возможность вычислить потенциал поля в любой точке полупространства. Однако выражения интеграла в виде аналитической функции не существует. Его представление в виде бесконечных рядов позволяет найти численные значения характеристик поля с какой угодно точностью.

В основу указанного представления положена теорема сложения для сферической функции Ханкеля нулевого порядка. Сущность этой теоремы состоит в следующем.

Если известны сферические координаты  $R$ ,  $\theta$  и  $\varphi$  двух точек пространства  $M_1(R_1, \theta_1, \varphi_1)$  и  $M_2(R_2, \theta_2, \varphi_2)$  (рис. IV.5.1, а), то расстояние между ними определяется из формулы

$$(M_1 M_2)^2 = d^2 = R_1^2 + R_2^2 - 2R_1 R_2 \cos \gamma, \quad (IV.5.1)$$

где  $\gamma$  — угол между  $OM_1$  и  $OM_2$ ;  $\cos \gamma = \cos \theta_1 \cos \theta_2 + \sin \theta_1 \sin \theta_2 \cos(\varphi_1 - \varphi_2)$ .

Если известна сферическая функция Ханкеля нулевого порядка с аргументом  $\alpha d$  ( $d$  — расстояние между указанными точками), то

возможно следующее представление этой функции в ряд по полиномам Лежандра [27]:

$$n_0(\alpha d) = \sum_{m=0}^{\infty} (2m+1) \frac{h_m(\alpha R_1) j_m(\alpha R_2)}{h_m(\alpha R_2) j_m(\alpha R_1)} P_m(\cos \gamma), \quad (\text{VI.5.2})$$

где верхняя сумма относится к случаю  $R_1 > R_2$ ; нижняя — к случаю  $R_1 < R_2$ .

Пусть точка  $P$  элемента  $dS$  площади излучателя имеет сферические координаты  $\rho, \pi/2, \varphi$ , а точка  $M$ , в которой необходимо найти

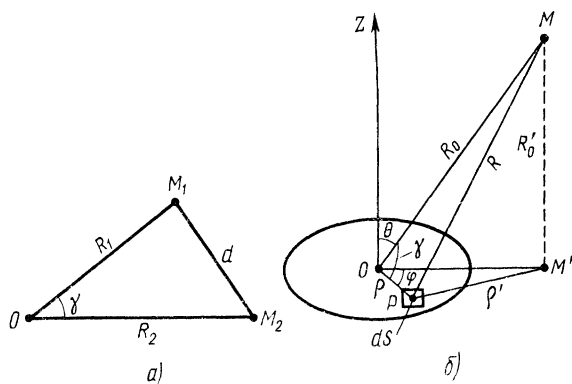


Рис. IV.5.1

звуковое давление, — координаты  $R_0, \theta, 0$  (рис. IV.5.1, б). В этом случае по формуле (IV.5.1) расстояние между этими точками

$$R^2 = R_0^2 + \rho^2 - 2R_0\rho \cos \gamma, \quad (\text{IV.5.3})$$

где  $\cos \gamma = \sin \theta \cos \varphi$ .

Если считать, что нормальная составляющая скорости по всей поверхности одинакова и равна  $v_0$ , то звуковое давление в точке  $M$

$$p_M = j\omega\rho\Phi = j \frac{k^2\rho v_0 c}{2\pi} \int_S \frac{e^{-jkR}}{kR} dS. \quad (\text{IV.5.4})$$

Как известно из теории бесселевых функций, выражение, стоящее под знаком интеграла (IV.5.4), есть не что иное, как сферическая функция Ханкеля нулевого порядка:

$$h_0(kR) = \frac{e^{jkR}}{kR}. \quad (\text{IV.5.5})$$

Учитывая сферические координаты концов отрезка  $R$  [см. (IV.5.2)], получаем

$$\frac{e^{-jkR}}{kR} = \sum_{m=0}^{\infty} (2m+1) \frac{h_m(kR_0) j_m(k\rho)}{h_m(k\rho) j_m(kR_0)} P_m(\sin \theta \cos \varphi),$$

где верхняя строчка соответствует случаю  $R_0 > \rho$ , а нижняя — случаю  $R_0 < \rho$ .

Таким образом, формулу (IV.5.4) можно записать в виде

$$2\pi \frac{p_M}{j\omega r v_0 k} = \int_S \sum_{m=0}^{\infty} (2m+1) \frac{h_m(kR_0) j_m(k\rho)}{h_m(k\rho) j_m(kR_0)} P_m(\sin\theta \cos\varphi) dS. \quad (\text{IV.5.6})$$

Известно, что для равномерно сходящихся рядов операции интегрирования и суммирования можно менять местами. На основании этого интеграл (IV.5.6) представим в виде суммы интегралов следующего типа:

$$(2m+1) h_m(kR_0) \int_0^a \int_0^{2\pi} j_m(k\rho) P_m(\sin\theta \cos\varphi) \rho^2 d\rho d\varphi \Big|_{R_0 > \rho}, \quad (\text{IV.5.7})$$

$$(2m+1) j_m(kR_0) \int_0^a \int_0^{2\pi} h_m(k\rho) P_m(\sin\theta \cos\varphi) \rho^2 d\rho d\varphi \Big|_{R_0 < \rho}.$$

Можно показать, что интегралы в (IV.5.7) от полиномов Лежандра нечетных порядков обращаются в нули, а для полиномов четного порядка приводится к виду  $\int_0^{2\pi} P_{2m}(\sin\theta \cos\varphi) d\varphi = 2\pi P_{2m}(\cos\theta)$ . Что

касается интегралов  $\int_0^a j_{2m}(k\rho) \rho^2 d\rho$  и  $\int_0^a h_{2m}(k\rho) \rho^2 d\rho$ , то они могут быть вычислены с применением численных методов интегрирования. Таким образом, для каждой точки поля следует найти численные значения суммы:

$$\sum_{m=0}^{\infty} 2\pi (4m+1) P_{2m}(0) P_{2m}(\cos\theta) \frac{U_{2m} h_{2m}(kR_0)}{V_{2m} j_{2m}(kR_0)}, \quad (\text{IV.5.8})$$

где

$$U_{2m} = \int_0^a j_{2m}(k\rho) \rho^2 d\rho, \quad V_{2m} = \int_0^a h_{2m}(k\rho) \rho^2 d\rho. \quad (\text{IV.5.9})$$

Штенцель [11], используя подобные ряды, получил таблицы и графики звукового давления вблизи поверхности плоского излучателя круглой формы. На рис. IV.5.2 приведены линии равного звукового давления в плоскости, параллельной плоскости излучателя. Здесь изображены линии равного давления. Цифры на графиках обозначают отношение давления  $p_M$  к давлению в плоской волне. Плоскость, к которой относят указанные кривые, находятся на небольшом расстоянии от излучателя. Характерно, что в различных точках плоскости, параллельной поверхности излучателя, давление и фаза не постоянны, как это было бы в идеальной плоской волне. Равные амплитуды давления расположены по замкнутым линиям. На одной и той же плоскости имеется несколько изобар.

Таким образом, вычисление амплитуды звукового давления по точным формулам дало следующий результат: вблизи поверхности круглого поршневого излучателя в экране излучатель создает сложное звуковое поле, значительно отличающееся от идеального плоского.

У реального поля вблизи излучателя фазовая поверхность имеет множество бугров и впадин. Сечение этой поверхности плоскостью дает на ней изобары в виде замкнутых кривых. На этой плоскости видны изобары, относящиеся к различным волновым поверхностям.

В изотропной среде поток звуковой энергии перпендикулярен поверхности волны, т. е. совпадает с направлением нормали к поверхности. В данном случае линии потока звуковой энергии изогнуты. Поток энергии обходит области, в которых звуковое давление равно нулю, и концентрируется там, где давление максимальное.

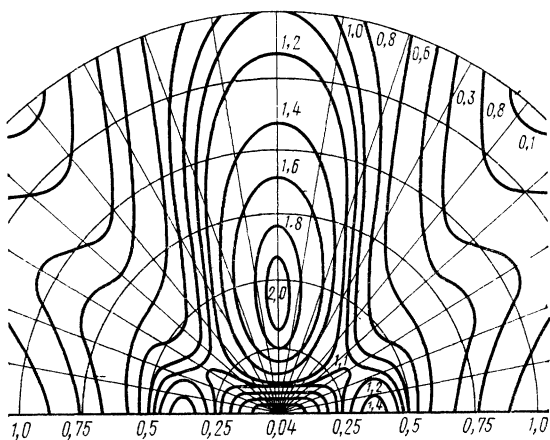


Рис. IV.5.2

Другой особенностью звукового поля вблизи плоского излучателя является постепенное сглаживание волновой поверхности по мере удаления от источника.

**Область френелевой дифракции.** Для точек поля, расположенных на значительных расстояниях по сравнению с размерами излучателя, можно найти более простые выражения, чем громоздкие ряды, рассмотренные ранее. Возможность упрощения расчетных формул связана с тем, что расстояние между точками  $M$  и  $P$  согласно (IV.5.3), записанное в виде

$$R = R_0 \left[ 1 + \left( \frac{\rho}{R_0} \right)^2 - \frac{2\rho}{R_0} \cos \gamma \right]^{1/2}, \quad (\text{IV.5.10})$$

определяется выражением  $(\rho/R_0)^2 - 2\rho \cos \gamma/R_0$ , которое при  $R_0 \rightarrow \infty$  стремится к нулю. Поэтому расстояние  $R$  представим в виде степенного ряда по возрастающим степеням малой величины  $\left( \frac{\rho}{R_0} \right)^2 - \frac{2\rho}{R_0} \cos \gamma$ :

$$R = R_0 \left[ 1 + \frac{1}{2} \left( \frac{\rho^2}{R_0^2} - \frac{2\rho \cos \gamma}{R_0} \right) - \frac{1}{8} \left( \frac{\rho^2}{R_0^2} - \frac{2\rho \cos \gamma}{R_0} \right)^2 - \dots \right]. \quad (\text{IV.5.11})$$

Область поля, для которой можно ограничиться в разложении (IV.5.11) приближением второго порядка, называют *областью френе-*

левой дифракции. Для нее ряд (IV.5.11) запишем в виде приближенной формулы

$$R = R_0 + \frac{\rho^2}{2R_0} - \left( \rho \cos \gamma + \frac{\rho^2}{2R_0} \cos^2 \gamma \right). \quad (\text{IV.5.12})$$

Используя приближение второго порядка  $kR \ll 1$ , представим интеграл Рэлея в виде

$$\begin{aligned} p_M &= \frac{j\rho c v_0}{\lambda} \int \frac{e^{-ikR}}{R} dS = \\ &= j \frac{\rho c v_0}{\lambda} \frac{e^{-ikR_0}}{R_0} \int e^{-ik \left[ \frac{\rho^2}{2R_0} - \left( \rho \cos \gamma + \frac{\rho^2 \cos^2 \gamma}{2R_0} \right) \right]} dS. \end{aligned} \quad (\text{IV.5.13})$$

В знаменателе выражения (IV.5.13) квадратичные члены опущены, так как они слабо влияют на амплитуду давления. Однако эти члены сохранены в фазовом множителе, поскольку небольшое изменение фазы вызывает заметное изменение звукового давления.

Для удобства вычисления интеграла по поверхности перейдем к цилиндрической системе и перенесем начало системы координат из центра излучателя в точку  $M'$ , являющуюся проекцией точки  $M$  наблюдения на плоскость излучателя и экрана (см. рис. IV.5.1, б). В новой системе координат угол  $\gamma = \pi/2$ , а  $R'_0 = z_0$ . Тогда (IV.5.13) запишем в форме, легко преобразуемой к интегралам Френеля и рядам Ломмеля [26]:

$$p_M = j \frac{\rho c v_0}{\lambda} \frac{e^{i(\omega t - kz_0)}}{z_0} \int e^{-ik \frac{\rho'^2}{2z_0}} dS. \quad (\text{IV.5.14})$$

В прямоугольной декартовой системе координат ( $\rho'^2 = x^2 + y^2$ ) формулу (IV.5.14) можно преобразовать:

$$P_M = j \frac{\rho c v_0}{\lambda z_0} e^{i(\omega t - kz_0)} \int_{x_1}^{x_2} e^{-ik \frac{x^2}{2z_0}} dx \int_{y_1}^{y_2} e^{-ik \frac{y^2}{2z_0}} dy.$$

Произведем замену переменных:  $k \frac{x^2}{2z_0} = \frac{\pi}{2} t^2$ ,  $k \frac{y^2}{2z_0} = \frac{\pi}{2} s^2$ , после чего получим выражение звукового давления через интегралы Френеля:

$$p_M = j\rho c v_0 \frac{1}{2} \int_{\sqrt{2/(\lambda z_0)} x_1}^{\sqrt{2/(\lambda z_0)} x_2} e^{-i \frac{\pi}{2} t^2} dt \int_{\sqrt{2/(\lambda z_0)} y_1}^{\sqrt{2/(\lambda z_0)} y_2} e^{-i \frac{\pi}{2} s^2} ds. \quad (\text{VI.5.15})$$

Введем безразмерные расстояния  $x' = x/\lambda$ ,  $y' = y/\lambda$  и представим (IV.5.15) в форме, удобной для практического использования:

$$p_M = \frac{j\rho c v_0}{2} \int_{\sqrt{2/z'} x'_1}^{\sqrt{2/z'} x'_2} e^{-i \frac{\pi}{2} t^2} dt \int_{\sqrt{2/z'} y'_1}^{\sqrt{2/z'} y'_2} e^{-i \frac{\pi}{2} s^2} ds. \quad (\text{IV.5.16})$$

Интегралы Френеля приведены в форме таблиц в [6]. Кроме того, их можно с достаточной степенью точности находить графически, если имеется хорошо выполненная в крупном масштабе спираль Корню.

На рис. IV.5.3 она изображена в масштабе, позволяющем с небольшой точностью находить амплитуду звукового давления плоского излучателя в области френелевой дифракции. Спираль Корню изображает модуль и фазу интеграла Френеля в зависимости от параметра  $\sqrt{2/(\lambda z_0)} x_1$ . Используя этот график, можно проследить, как изменится комплексная амплитуда давления поля прямоугольного излучателя в зависимости от расстояния  $z_0$ , координат  $x_1$ ,  $x_2$  и  $y_1$ ,  $y_2$  краев прямоугольного излучателя.

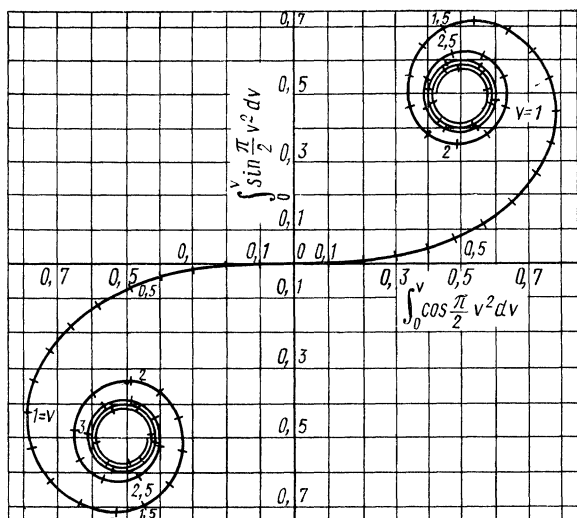


Рис. IV.5.3

Рассмотрим частный случай.

Пусть точка наблюдения лежит на оси прямоугольного излучателя. Стороны излучателя имеют размеры  $a$  и  $b$ . При этом комплексную амплитуду давления определяют формулой

$$p = j \frac{\rho c v_n}{2} \left[ \frac{a}{2} \sqrt{\frac{2}{\lambda z_0}} \int_{-\frac{a}{2} \sqrt{\frac{2}{\lambda z_0}}}^{\frac{a}{2} \sqrt{\frac{2}{\lambda z_0}}} e^{-j \frac{\pi}{2} t^2} dt - \frac{b}{2} \sqrt{\frac{2}{\lambda z_0}} \int_{-\frac{b}{2} \sqrt{\frac{2}{\lambda z_0}}}^{\frac{b}{2} \sqrt{\frac{2}{\lambda z_0}}} e^{-j \frac{\pi}{2} s^2} ds \right]$$

Проследим за модулем амплитуды давления с изменением расстояния  $z_0$  для квадратного излучателя  $a=b$ . Модуль давления в этом случае определяют квадратом отрезка линии на спирали Корню, проведенного между точками спирали:

$$s_1 = -\frac{a}{2} \sqrt{\frac{2}{\lambda z_0}}, \quad s_2 = \frac{a}{2} \sqrt{\frac{2}{\lambda z_0}}$$

Пусть  $s_{1,2} = \pm \sqrt{\frac{2}{\lambda z_0}} \frac{a}{2} = \pm 2,5$  для некоторого значения. Тогда модуль давления

$$|p| = \frac{\rho c v_n}{2} (A_{\pm 2,5}^2)$$

По мере увеличения расстояния  $z_0$  точки концов отрезка  $A$  будут скользить по спирали, пробегая значения параметров от  $\pm 2,5$  до 0. Модуль давления сначала будет то увеличиваться, то уменьшаться, достигнув минимального значения при  $s_{1,2} = \pm 1,9$ , затем увеличиваться. Когда  $z_0$  станет таким, что параметр  $s_{1,2}$  примет значение  $\approx \pm 1,4$ , модуль  $A$  достигнет снова максимального значения. При дальнейшем увеличении расстояния модуль плавно уменьшается по мере того как концы отрезка проходят точки с параметрами спирали от 1,4 до 0.

Изменение модуля давления на оси квадратного поршневого излучателя в экране в зависимости от расстояния  $z$  показано на рис. IV.5.4. Осевое распределение модуля звукового давления квадратного поршневого излучателя при изменении расстояния по оси  $Z$ , как и для круглого излучателя, имеет характерные осцилляции. Однако они менее ярко выражены по сравнению с осцилляциями давления на оси круглого излучателя.

Расстояние до последнего максимума модуля давления определяется формулой  $z_0 \approx a^2/\lambda$  ( $a$  — сторона квадрата излучателя).

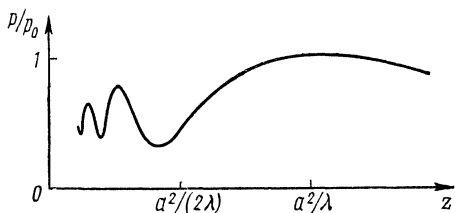


Рис. IV.5.4

Формула (IV.5.16) удобна при нахождении давления в области френелевой дифракции, когда излучатель имеет форму прямоугольника. Однако для круглых преобразователей она не применяется. В этом случае пользуются представлением интеграла Рэлея в виде степенных рядов. В частности, можно вывести следующее выражение:

$$P_M = -\rho c v_0 e^{j(\omega t - kz_0)} \left[ e^{-\frac{j\pi(a^2 + \delta^2)}{\lambda z_0}} (V_0 + jV_1) - 1 \right], \quad (IV.5.17)$$

где

$$V_0 = \mathcal{J}_0\left(\frac{2\pi a \delta}{\lambda z_0}\right) - \left(\frac{\delta}{a}\right)^2 \mathcal{J}_2\left(\frac{2\pi a \delta}{\lambda z_0}\right) + \left(\frac{\delta}{a}\right)^4 \mathcal{J}_4\left(\frac{2\pi a \delta}{\lambda z_0}\right) - \dots;$$

$$V_1 = \frac{\delta}{a} \mathcal{J}_1\left(\frac{2\pi a \delta}{\lambda z_0}\right) - \left(\frac{\delta}{a}\right)^3 \mathcal{J}_3\left(\frac{2\pi a \delta}{\lambda z_0}\right) + \left(\frac{\delta}{a}\right)^5 \mathcal{J}_5\left(\frac{2\pi a \delta}{\lambda z_0}\right) - \dots$$

Обозначая  $m = \omega t - kz_0$ ,  $\alpha = k(x^2 + \delta^2)/(2z_0)$ , получаем

$$p_M = -\rho c v_0 e^{jm} [e^{-j\alpha} (V_0 + jV_1) - 1],$$

или, имея в виду только действительную часть комплексной функции,

$$p(z, \delta, t) = \rho c v_0 (X \cos m + Y \sin m) = \rho c v_0 \sqrt{X^2 + Y^2} \cos(m - \gamma), \quad (IV.5.18)$$

где

$$X = V_0 \cos \alpha + V_1 \sin \alpha - 1, \quad (IV.5.19)$$

$$Y = V_0 \sin \alpha - V_1 \cos \alpha, \quad \gamma = \arctg \frac{X}{Y}.$$

Нетрудно показать, что формула (IV.5.18) для оси излучателя  $\delta = 0$  имеет вид

$$p(z_0, 0, t) = 2\rho c v_0 \sin \frac{\pi a^2}{2\lambda z_0} \cos\left(\omega t - kz_0 - \frac{\pi a^2}{\lambda z_0} - \frac{\pi}{2}\right). \quad (IV.5.20)$$

Как и в случае точного решения, амплитуда давления на оси осциллирует при удалении от излучателя. Координату наиболее удаленного максимума определяют по формуле

$$z = a^2/\lambda.$$

Доказательство этой формулы можно провести методом преобразований с учетом следующих выражений:

$$V_0 \left( \frac{2\pi a \delta}{\lambda z_0} \right) \Big|_{\delta=0} = 1, \quad V_1 \left( \frac{2\pi a \delta}{\lambda z_0} \right) \Big|_{\delta=0} = 0,$$

$$\alpha = \frac{\pi (a^2 + \delta^2)}{\lambda z_0} \Big|_{\delta=0} = \frac{\pi a^2}{\lambda z_0}.$$

Для описания характера изменения амплитуды и фазы давления в зависимости от  $z_0$  достаточно найти экстремальные точки функции  $\sqrt{X^2 + Y^2}$ , входящей в (IV.5.18). Проведем исследование этой функции. Поскольку выражения для  $X$  и  $Y$  в (IV.5.19) содержат осциллирующие ограниченные функции, то  $\sqrt{X^2 + Y^2}$  также ограничена и осциллирует между максимальными и минимальными значениями. В зависимости от расстояния  $\delta$  до оси излучателя частота осцилляций и их глубина изменяются. При некотором значении  $z_0 = z_{од}$  функция  $\sqrt{X^2 + Y^2}$  имеет последний из возможных максимумов. Начиная с этого значения с увеличением  $z_0$  амплитуда  $\sqrt{X^2 + Y^2}$  с ростом  $z_0$  уменьшается по закону  $1/z_0$ .

На рис. IV.5.5 приведены графики зависимости амплитуды (слева) и фазы (справа) давления от отношения  $\delta/a$  для различных безразмерных расстояний  $s = z_0/(a^2/\lambda)$ , обозначенных цифрами от 0,74\* до 1,58. На графиках амплитуды отложены  $\sqrt{X^2 + Y^2}$  — безразмерные амплитуды звукового давления, а на графиках фазы —  $\gamma/(2\pi) = (1/2\pi) \operatorname{arctg} \frac{X_i}{Y}$ , или  $\Delta z/\lambda$  ( $\Delta z_0$  — отклонение фазовой поверхности от плоской).

При  $s=1$  давление на оси максимально и уменьшается с увеличением  $s$ . На расстоянии  $\delta=0,3a$  при  $s=1$  давление меньше, чем

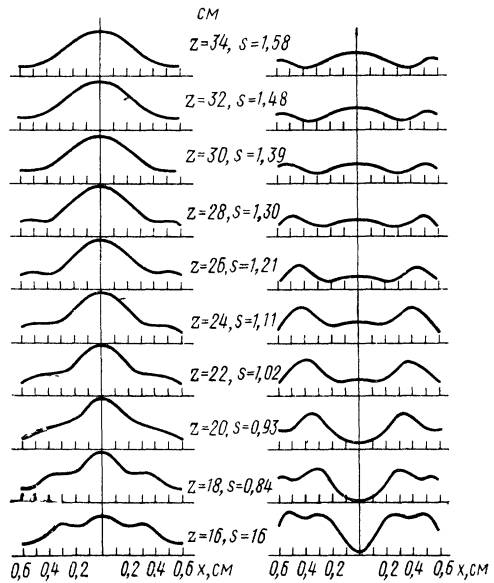


Рис. IV.5.5

\* На рис. эта цифра по ошибке заменена на  $s=16$ .



при  $s=0,78$ , т. е. при  $s=1$  амплитуда давления имеет слабо выраженный минимум. При других значениях параметра  $\delta/a$  характерные максимумы и минимумы смещаются.

Фаза волны на всем интервале изменений  $s$  и  $\delta/a$  изменяется незначительно. Наибольшее изменение фазы  $\gamma(2\pi)=0,2$ . Это значит, что волновая поверхность отличается от плоской в пределах от 0 до 1 на  $0,2\lambda$ . Радиус излучателя в ультразвуковых установках равен нескольким десяткам длин волн, поэтому вблизи оси волну можно считать приблизительно плоской. Однако при точных исследованиях отклонение волновой поверхности от плоской необходимо учитывать.

**Переходная область.** Область поля вблизи излучателя, где зависимость амплитуды квазиплоской волны от расстояния  $z_0$  определяется монотонной функцией, отличной от закона сферической волны  $1/z_0$ , условно можно назвать *переходной областью поля*. Для ее определения проведем исследование модуля давления на максимум и минимум.

Подставляя выражения  $X$  и  $Y$ , имеем

$$\sqrt{X^2 + Y^2} = \sqrt{V_0^2 + V_1^2 + 1 - 2(V_0 \cos \alpha + V_1 \sin \alpha)} = f(x).$$

Приравнивая к нулю производную по  $x$  от  $f(x)$ , получаем уравнение, корни которого являются точками максимума или минимума амплитуды давления.

Для проведения операции дифференцирования необходимо знать несколько свойств рядов  $V_0$  и  $V_1$ .

1. Ряды  $V_0$  и  $V_1$  являются частными случаями общих рядов Ломмеля:

$$V_m = \left(\frac{x}{y}\right)^m \mathcal{J}_m(x) - \left(\frac{x}{y}\right)^{m-2} \mathcal{J}_{m+2}(x) + \dots = \sum_{p=0}^{\infty} (-1)^p \left(\frac{x}{y}\right)^{m+2p} \mathcal{J}_{m+2p}(x),$$

где  $m$  — число, которое может быть положительным или отрицательным.

Ряд  $V_m(x)$  сходится при любых  $x/y$ , поэтому его можно дифференцировать и интегрировать.

2. Производная по  $x$  от ряда Ломмеля равна

$$\frac{\partial V_m}{\partial x} = \frac{x}{y} V_{m-1}(x).$$

3. Производная  $n$ -го порядка от  $V_m$

$$\frac{\partial^n V_m}{\partial x^n} = \frac{n-1}{y} \frac{\partial^{n-2}}{\partial x^{n-2}} V_{m-1} + \frac{x}{y} \frac{\partial^{n-1}}{\partial x^{n-1}} V_{m-1}.$$

4. Производная от функции  $\alpha(x)$

$$\frac{\partial \alpha}{\partial x} = \frac{\partial}{\partial x} \left( \frac{x^2}{2y} + 2y \right) = \frac{x}{y}.$$

После этих замечаний легко произвести преобразование первой производной от  $\sqrt{X^2 + Y^2}$ :

$$\begin{aligned} (\sqrt{X^2 + Y^2})' &= (\sqrt{V_0^2 + V_1^2 + 1 - 2(V_0 \cos \alpha + V_1 \sin \alpha)})' = \\ &= \frac{V_0 V_0' + V_1 V_1' - V_0' \cos \alpha - V_0 \alpha' \sin \alpha - V_1 \sin \alpha - V_1 \alpha' \cos \alpha}{\sqrt{V_0^2 + V_1^2 + 1 - 2(V_0 \cos \alpha + V_1 \sin \alpha)}} = \\ &= \frac{V_0 V_0' + V_1 V_1' - (V_0' + V_1 \alpha') \cos \alpha - (V_1' - V_0 \alpha') \sin \alpha}{\sqrt{V_0^2 + V_1^2 + 1 - 2(V_0 \cos \alpha + V_1 \sin \alpha)}}. \end{aligned}$$

Подставив в числитель первую производную ряда

$$\begin{aligned} V_0' &= \frac{x}{y} V_{-1} = \frac{x}{y} \left[ \left( \frac{x}{y} \right)^{-1} \mathcal{J}_{-1}(x) - \left( \frac{x}{y} \right) \mathcal{J}_1(x) + \dots \right] = \\ &= \frac{x}{y} \left[ - \left( \frac{x}{y} \right)^{-1} \mathcal{J}_1(x) - V_1(x) \right] - \left[ \mathcal{J}_1(x) + \frac{x}{y} V_1(x) \right] \end{aligned}$$

и первую производную ряда

$$V_1' = \frac{x}{y} V_0(x),$$

получим условие экстремума:

$$\frac{\partial}{\partial x} \sqrt{X^2 + Y^2} = \frac{\mathcal{J}_1(x) \left[ \cos \left( \frac{x^2}{2y} + 2y \right) - V_0(x) \right]}{\sqrt{V_0^2 + V_1^2 + 1 - 2(V_0 \cos \alpha + V_1 \sin \alpha)}} = 0.$$

Таким образом, экстремальные точки модуля давления являются корнями уравнений

$$\mathcal{J}_1(x) = 0, \quad \cos \left( \frac{x^2}{2y} + 2y \right) - V_0(x) = 0,$$

или

$$\begin{aligned} \mathcal{J}_1 \left( \frac{ka\delta}{z_0} \right) &= 0, \\ \cos \left[ \frac{k(a^2 + \delta^2)}{2z_0} \right] - V_0 \left( \frac{ka\delta}{z_0} \right) &= 0. \end{aligned} \tag{IV.5.21}$$

Начало переходной зоны определяется наименьшим из корней полученных уравнений, исключая нуль. В зависимости от соотношения между  $\delta$  и  $a$  можно отметить три случая.

1. Если поле рассматривать на оси излучателя ( $\delta = 0$ ), то первое из уравнений (IV.5.21) обращается в тождество, а второе дает  $\left| \cos \frac{ka^2}{2z_0} \right| = 1$ , наименьший корень которого, отличный от нуля,  $\pi$ .

Таким образом, начало переходной зоны при  $\delta = 0$  определяется координатой оси  $z_{01} = a^2/\lambda$ .

2. Если расстояние от оси равно радиусу излучателя ( $\delta = a$ ), то первое уравнение (IV.5.21) имеет вид  $\mathcal{J}_1 \left( \frac{ka^2}{z_0} \right) = 0$ . Его первый корень  $ka^2/z_{01} = 3,832$ , откуда  $z_{011} = \frac{2\pi}{3,832} \frac{a^2}{\lambda}$ . Второе из уравнений (IV.5.21) при  $\delta = a$  содержит функцию  $V_0(ka^2/z_0)$ :

$$\cos \frac{ka^2}{z_0} = V_0 \left( \frac{ka^2}{z_0} \right) = \mathcal{J}_0 \left( \frac{ka^2}{z_0} \right) - \mathcal{J}_2 \left( \frac{ka^2}{z_0} \right) + \mathcal{J}_4 \left( \frac{ka^2}{z_0} \right).$$

Первый корень этого уравнения меньше, чем 3,83, и начало переходной зоны определяется этим корнем. Обозначим его  $A_1$ . Отсюда

$$\frac{ka^2}{z_0} = \frac{2\pi a^2}{\lambda z_0} = A_1, \quad z_0(a) = \frac{2\pi a^2}{A_1 \lambda},$$

причем  $2\pi/A_1 > 1$ , поэтому переходная область на линиях  $\delta = a$  начинается дальше, чем осевая переходная область.

3. Можно показать, что при любом соотношении  $\delta/a$  первый корень  $\mathcal{S}_1(x)$  всегда больше первого корня уравнения  $\cos \alpha(x) = V_0(x)$ . Поэтому начало переходной области для  $\delta/a \neq 0$  расположено дальше, чем начало переходной области на оси.

#### § IV.6. ДИФРАКЦИОННЫЕ ПОПРАВКИ ПРИ ИЗМЕРЕНИИ СКОРОСТИ И ПОГЛОЩЕНИЯ ЗВУКА

Наиболее точные методы измерения скорости распространения и коэффициента поглощения звука в веществе основаны на предположении, что в экспериментальной установке создается плоская волна. Однако излучатели конечных размеров создают в ближней области плоское поле, искаженное дифракционными эффектами на краях излучателя даже в случае, если излучатель вставлен в бесконечный жесткий экран. Обычно в измерениях скорости распространения и коэффициента поглощения звука в веществе используют пьезоэлектрические пластины. В эхо-методах и в методе акустического интерферометра излучающая и приемная пластины могут быть совмещены.

Рассмотрим в общем виде возможные ошибки в определении скорости и поглощения звука, которые вносятся дифракционными искажениями плоской волны, действующей на пьезоэлектрический датчик давления.

В эхо-методах измерения скорости и поглощения звука отраженная от рефлектора волна, искаженная дифракционными явлениями на краях рефлектора и излучателя, возвращается к передающему кристаллу и возбуждает на его клеммах электрическое напряжение, пропорциональное среднему давлению на поверхности пьезоэлемента. Это давление отличается от давления  $\bar{p}$ , усредненного по поверхности перпендикулярной направлению распространения волны. Между этими величинами существует линейная зависимость

$$\langle p \rangle = D\bar{p},$$

где  $D$  — коэффициент дифракции, который определяется размерами и покрытием приемного преобразователя и практически не зависит от расстояния между излучателем и приемником звуковых волн.

Для неискаженного плоского поля величина  $\bar{p}$ , очевидно, выражается формулой идеальной плоской волны в среде с затуханием

$$\bar{p} = p_0 e^{-\alpha z} e^{j(\omega t - kz)},$$

где  $\alpha$  — коэффициент поглощения волн. Для поля, искаженного дифракционными эффектами на краях излучающей и приемной пластин, выражение давления  $\bar{p}$  можно получить путем усреднения по поверх-